



Raport

z badań poziomu natężenia pola elektrycznego
w otoczeniu stacji bazowej:

WRO1097

na podstawie sprawozdania P4/209/2023 udostępnionego przez A-CONNECT Anna Garwol-Porosa

Laboratorium prowadzące badania

A-CONNECT Anna Garwol-Porosa
Strażacka 3/2
58-370 Boguszów-Gorce
692 692 875

Zleceniodawca badań

P4 Sp. z o.o.

02-677 Warszawa
790 500 500
kontakt@play.pl

Nr akredytacji: AB 1284

Data wydania sprawozdania: 02.06.2023

Raport zawiera wybrane elementy sprawozdania i służy wyłącznie obrazowemu przedstawieniu informacji o danej instalacji. Raport nie może być wykorzystywany w postępowaniach administracyjnych.

Informacje ogólne

Zgodność z metodyką RMK: Tak

Ograniczenia: Na podstawie art. 122a ust. 1b ustawy Prawo ochrony środowiska (t.j. Dz.U. z 2020 r., poz. 1219, 1378, 1565, 2127, 2338, z 2021 r. poz. 802, 868, 1047, 1162, 1535.), pomiary PEM w lokalach mieszkalnych i użytkowych zlokalizowanych w obszarze pomiarowym badanej stacji bazowej nie zostały przeprowadzone.

Wykorzystanie w obszarze regulowanym: Tak

Przedmiot badań

Identyfikator stacji w UKE	WRO1097
Operator	P4 Sp. z o.o.
Współrzędne	16,9380360; 51,0701300
Rodzaj pracy	ciągła
Rodzaj wytwarzanego pola	stacjonarne

Miejsce badań

Otoczenie stacji bazowej WRO1097 w lokalizacji Mokronos Dolny, Porzeczkowa.

Cel badań

1. Zweryfikowanie zgodności z wymaganiami rozporządzenia Ministra Zdrowia z dnia 19 grudnia 2019 r.

Opis stacji bazowych

Tabela 1: Opis anten badanych stacji bazowych

Lp.	Identyfikator stacji w UKE	Typ Producent anteny	Azymut	H	EIRP	Pasma	Tilt	Tilt w trakcie pomiarów
			[°]	[m]	[W]	[MHz]	[°]	[°]
1	WRO1097	742215 Kathrein	70	34,00	11490*	LTE 1800 LTE 2100	0,0 - 10,0 0,0 - 10,0	5,0 5,0
2		742215 Kathrein	70	34,00	11490*	LTE 1800 LTE 2100	0,0 - 10,0 0,0 - 10,0	5,0 5,0
3		80010306v02 Kathrein	70	34,00	3052*	UMTS 900	0,5 - 9,5	5,0
4		ATR451607 Huawei	70	34,00	12810*	LTE 2600 LTE 800 LTE 2600	0,0 - 10,0 0,0 - 10,0 0,0 - 10,0	5,0 5,0 5,0
5		742215 Kathrein	200	34,00	11490*	LTE 1800 LTE 2100	0,0 - 10,0 0,0 - 10,0	5,0 5,0
6		742215 Kathrein	200	34,00	11490*	LTE 1800 LTE 2100	0,0 - 10,0 0,0 - 10,0	5,0 5,0
7		80010306v02 Kathrein	200	34,00	3052*	UMTS 900	0,5 - 9,5	5,0
8		ATR451607 Huawei	200	34,00	12810*	LTE 2600 LTE 2600 LTE 800	0,0 - 10,0 0,0 - 10,0 0,0 - 10,0	5,0 5,0 5,0
9		AAU5726e Huawei	270	34,40	4820*	LTE 1800 LTE 2100	2,0 - 10,0 2,0 - 10,0	6,0 6,0
10		AAU5726e Huawei	298	34,40	4820*	LTE 1800 LTE 2100	2,0 - 10,0 2,0 - 10,0	6,0 6,0
11		80010306v02 Kathrein	310	34,00	3052*	UMTS 900	0,5 - 9,5	5,0
12		ATR451607 Huawei	310	34,00	12810*	LTE 2600 LTE 2600 LTE 800	0,0 - 10,0 0,0 - 10,0 0,0 - 10,0	5,0 5,0 5,0
13		AAU5726e Huawei	322	34,40	4820*	LTE 1800 LTE 2100	2,0 - 10,0 2,0 - 10,0	6,0 6,0
14		AAU5726e Huawei	350	34,40	4820*	LTE 1800 LTE 2100	2,0 - 10,0 2,0 - 10,0	6,0 6,0

* moc EIRP łączna dla wszystkich częstotliwości anteny

Warunki pomiarów

Pomiary w wyznaczonych punktach wykonano w następujących warunkach:

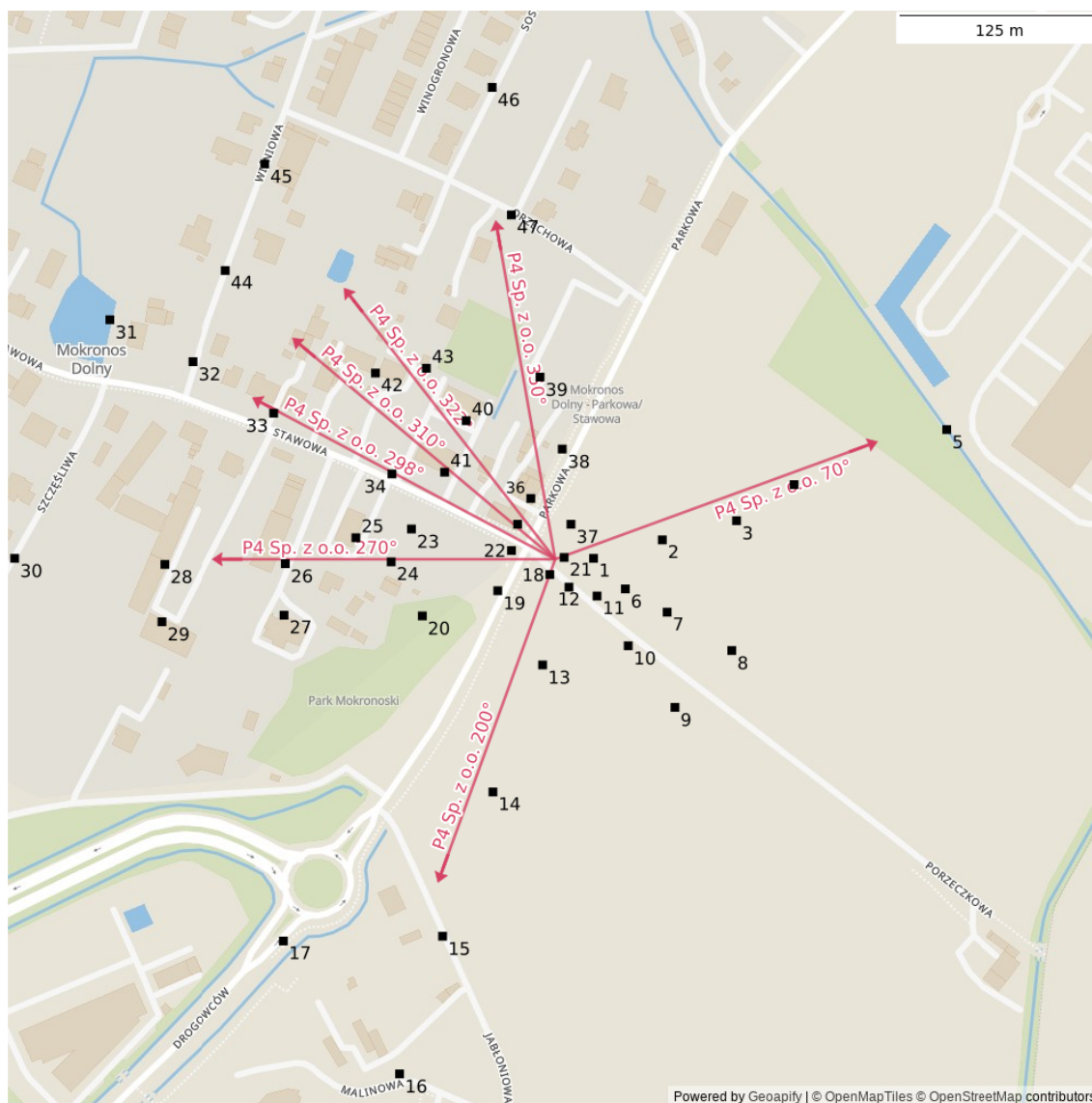
31.05.2023 15:15-17:00			
Warunki środowiskowe	Temperatura [°C]	Wilgotność [%]	Opady
Minimalna	23,3	35,3	brak
Maksymalna	23,9	36,9	

Aparatura

Tabela 2: Aparatura

MIERNIKI I SONDY					
Lp.	Typ / Nazwa	Model	Producent	Próg detekcji	Świadectwo wzorcowania
1a	miernik	NBM-520	Narda		LWiMP/W/069/22 z dn. 08.03.2022 wydane przez LWiMP Politechniki Wrocławskiej
1b	sonda	EF6091	Narda	0,50	
POZOSTAŁE					
Lp.	Typ / Nazwa	Model	Producent	Świadectwo wzorcowania	
2	termohigrometr	P330	DOSTMANN	47102/2016 z dn. 28.11.2016 wydane przez LAB-EL ELEKTRONIKA LABORATORYJNA ANDRZEJ ŁOBZOWSKI, MARIA ŁOBZOWSKA SP. J.	

Lokalizacje pionów pomiarowych



Rysunek 1: Plan terenu

Dodatkowe informacje o punktach

punkt 42: GKP 310°; PKP 298°/322° - okno korytarza - parter/I p., ul. Stawowa 31

Wyniki pomiarów szerokopasmowych

Tabela 3: Zestawienie lokalizacji pionów pomiarowych oraz wyników pomiarów natężenia pola elektrycznego, pomiary szerokopasmowe

Nazwa	Data	Współrzędne geograficzne	E	WM _E	H	WM _H
		[°]	[$\frac{V}{m}$]		[$\frac{A}{m}$]	
1	31.05.2023	16,9383790 51,0701350	2,70	0,096	0,007	0,098

ciąg dalszy na następnej stronie

Tabela 3: Zestawienie lokalizacji pionów pomiarowych oraz wyników pomiarów natężenia pola elektrycznego, pomiary szerokopasmowe (c.d.)

Nazwa	Data	Współrzędne geograficzne	E	WM _E	H	WM _H
		[°]	[$\frac{V}{m}$]		[$\frac{A}{m}$]	
2	31.05.2023	16,9389960 51,0702390	2,03	0,073	0,005	0,074
3	31.05.2023	16,9396610 51,0703470	1,76	0,063	0,005	0,064
4	31.05.2023	16,9401760 51,0705500	2,43	0,087	0,006	0,088
5	31.05.2023	16,9415440 51,0708600	3,11	0,111	0,008	0,113
6	31.05.2023	16,9386640 51,0699630	2,43	0,087	0,006	0,088
7	31.05.2023	16,9390390 51,0698320	1,62	0,058	0,004	0,059
8	31.05.2023	16,9396180 51,0696160	1,22	0,044	0,003	0,044
9	31.05.2023	16,9391090 51,0692960	1,35	0,048	0,004	0,049
10	31.05.2023	16,9386900 51,0696430	1,76	0,063	0,005	0,064
11	31.05.2023	16,9384110 51,0699230	2,57	0,092	0,007	0,093
12	31.05.2023	16,9381590 51,0699730	2,70	0,096	0,007	0,098
13	31.05.2023	16,9379230 51,0695350	2,16	0,077	0,006	0,078
14	31.05.2023	16,9374780 51,0688200	2,57	0,092	0,007	0,093
15	31.05.2023	16,9370270 51,0680080	3,24	0,116	0,009	0,118
16	31.05.2023	16,9366410 51,0672330	1,22	0,044	0,003	0,044
17	31.05.2023	16,9356000 51,0679810	1,62	0,058	0,004	0,059
18	31.05.2023	16,9379880 51,0700440	2,70	0,096	0,007	0,098
19	31.05.2023	16,9375210 51,0699530	1,89	0,068	0,005	0,069
20	31.05.2023	16,9368450 51,0698110	0,95	0,034	0,003	0,035
21	31.05.2023	16,9381160 51,0701400	2,70	0,096	0,007	0,098
22	31.05.2023	16,9376440 51,0701790	2,97	0,106	0,008	0,108

Ciąg dalszy na następnej stronie

Tabela 3: Zestawienie lokalizacji pionów pomiarowych oraz wyników pomiarów natężenia pola elektrycznego, pomiary szerokopasmowe (c.d.)

Nazwa	Data	Współrzędne geograficzne	E	WM _E	H	WM _H
		[°]	[$\frac{V}{m}$]		[$\frac{A}{m}$]	
23	31.05.2023	16,9367480 51,0703000	1,62	0,058	0,004	0,059
24	31.05.2023	16,9365660 51,0701150	1,76	0,063	0,005	0,064
25	31.05.2023	16,9362500 51,0702510	2,03	0,073	0,005	0,074
26	31.05.2023	16,9356170 51,0701050	0,95	0,034	0,003	0,035
27	31.05.2023	16,9356060 51,0698150	0,95	0,034	0,003	0,035
28	31.05.2023	16,9345380 51,0701010	0,95	0,034	0,003	0,035
29	31.05.2023	16,9345120 51,0697780	0,95	0,034	0,003	0,035
30	31.05.2023	16,9331920 51,0701350	0,95	0,034	0,003	0,035
31	31.05.2023	16,9340450 51,0714780	0,95	0,034	0,003	0,035
32	31.05.2023	16,9347900 51,0712420	1,08	0,039	0,003	0,039
33	31.05.2023	16,9355130 51,0709520	2,30	0,082	0,006	0,084
34	31.05.2023	16,9365730 51,0706100	2,43	0,087	0,006	0,088
35	31.05.2023	16,9376990 51,0703270	3,65	0,130	0,010	0,133
36	31.05.2023	16,9378170 51,0704720	3,24	0,116	0,009	0,118
37	31.05.2023	16,9381770 51,0703270	2,70	0,096	0,007	0,098
38	31.05.2023	16,9380990 51,0707500	2,16	0,077	0,006	0,078
39	31.05.2023	16,9379000 51,0711550	2,43	0,087	0,006	0,088
40	31.05.2023	16,9372380 51,0709100	2,03	0,073	0,005	0,074
41	31.05.2023	16,9370450 51,0706200	2,57	0,092	0,007	0,093
42	31.05.2023	–	3,65	0,130	0,010	0,133
43	31.05.2023	16,9368810 51,0712050	2,16	0,077	0,006	0,078
44	31.05.2023	16,9350790 51,0717550	1,22	0,044	0,003	0,044

Ciąg dalszy na następnej stronie

Tabela 3: Zestawienie lokalizacji pionów pomiarowych oraz wyników pomiarów natężenia pola elektrycznego, pomiary szerokopasmowe (c.d.)

Nazwa	Data	Współrzędne geograficzne	E	WM _E	H	WM _H
		[°]	[$\frac{V}{m}$]		[$\frac{A}{m}$]	
45	31.05.2023	16,9354330 51,0723550	1,35	0,048	0,004	0,049
46	31.05.2023	16,9374710 51,0727860	1,22	0,044	0,003	0,044
47	31.05.2023	16,9376430 51,0720680	2,84	0,101	0,008	0,103

Podsumowanie

Na podstawie wyników pomiarów pola elektromagnetycznego przedstawionych w niniejszym raporcie o nr P4/209/2023 opracowanym przez A-CONNECT Anna Garwol-Porosa stwierdza się, że w otoczeniu stacji bazowej WRO1097 dopuszczalne poziomy pól elektromagnetycznych w środowisku, określone w przepisach wydanych na podstawie art. 122 ust. 1 ustawy z dnia 27 kwietnia 2001 r. – Prawo ochrony środowiska uznaje się za **dotrzymane**. Udokumentowano, że w żadnym pionie pomiarowym wartości wskaźnikowe WM_E oraz WM_H nie przekroczyły 1.

Osoby odpowiedzialne

Wykonanie pomiarów: b.d.

Opracowanie sprawozdania: b.d.

Autoryzacja sprawozdania: Łukasz Porosa (Kierownik ds. jakości)